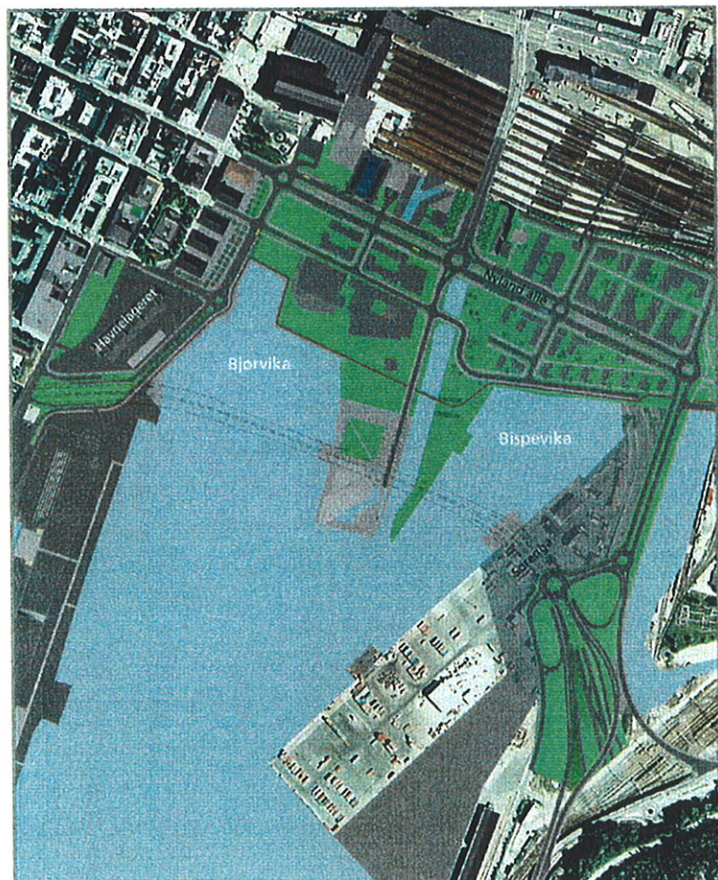


# Oppdragssrapport

## Oppdrag A-21A rapport nr. 9

E18 mellom Festningstunnelen  
og Ekebergtunnelen.  
Bispevika og Paulsenkaia.

Grunnundersøkelser for detalj-  
og reguleringsplan.



16 juni 1999



Statens vegvesen  
Vegdirektoratet

Vegteknisk avdeling

# Oppdrag A-21A, rapport nr. 9

## E18 mellom Festningstunnelen og Ekebergtunnelen. Bispevika og Paulsenkaia. Grunnundersøkelser for detalj- og reguleringsplan.

### Sammendrag

I forbindelse med utarbeidelse av detalj- og reguleringsplan for ny E18 mellom Festningstunnelen og Ekebergtunnelen er det utført grunnundersøkelser ved Havnelageret, i Bjørvika, på Bjørvikautstikkeren, i Bispevika, på Sørenga og på Loenga. Denne rapporten omhandler grunnundersøkelsene som er utført i Bispevika, Akerselva og på Paulsenkaia.

Grunnundersøkelsene er utført av Statens vegvesen Møre og Romsdal. Boringene er utført fra januar til mars 1999. Statens vegvesen Møre og Romsdal benytter borerigg Geotech 705. Trykksonderingene (CPT) er utført i samarbeid med medarbeidere fra Vegteknisk avdeling.

Fjellet ligger i det området rapporten dekker mellom kote ca. -17 og kote ca. -50.

Overgangen til naturlig grunn under Paulsenkaia ligger omkring kote -10. Over naturlig grunn som består av siltig leire og leire er det ca. 8 m fyllmasser og ca. 2 m flis.

I Bispevika består grunnen under det øvre slamlaget av siltig leire/leire. Sonderingene viser at det stedvis er et lag med fastere masser over fjell, slik som i Bjørvika. Imidlertid ser det ikke ut til at dette laget er gjennomgående og østover langs traseen ser det ut til å være leire ned til fjell.

Sonderingene viser at det er tynne sjikt/lag av sand i massene. Sandlagene framstår tydeligst i vestre og ytre deler av Bispevika.

Rapporten angir forslag til skjærstyrkeprofiler.

Emneord: *Grunnundersøkelser, totalsonderinger, 54 mm prøveserier*

Fylke:	<i>Oslo</i>
Anlegg/parsell:	<i>E18 Festningstunnelen - Ekebergtunnelen</i>
UTM-ref.:	<i>NM 96 43</i>
Kontor:	<i>Geoteknisk</i>
Saksbehandler:	<i>Anne Braaten</i>
Dato:	<i>16 juni 1999</i>
	<i>/ ANB</i>

# Innhold

<b>1. ORIENTERING</b>	<b>2</b>
<b>2. MARK- OG LABORATORIEARBEID</b>	<b>3</b>
<b>3. GRUNNFORHOLD</b>	<b>4</b>
3.1 Paulsenkaia	4
3.2 Bispevika	5
3.3 Akerselva	9

# Bilag

Bilag	1:	Tegningsforklaring
	2:	Oversikt over rapporter fra grunnundersøkelsene i 1999
	3:	Oversikt over utførte totalsonderinger.
	4:	Oversikt over utførte CPT-sonderinger
	5:	Tolkningsparametere fra treaksialforsøk.
	6:	Treaksialforsøk. CAUA fra hull 99309.
	7.	Treaksialforsøk. CAUP3 fra hull 99309.

# Tegninger

- A-21A:
- 108: Oversikt. Målestokk 1:5000
  - 109: Oversikt med borer. Målestokk 1:500
  - 110: Lengdeprofil østgående løp. Profil 6150 - 6400.
  - 111: Lengdeprofil A - A'.
  - 112: Tverrprofil. Profil 6240.
  - 113: Tverrprofil. Profil 6300.
  - 114: Tverrprofil. Profil 6370.

## 1. Orientering

I forbindelse med utarbeidelse av detalj- og reguleringsplan for ny E18 mellom Festningstunnelen og Ekebergtunnelen er det utført grunnundersøkelser ved Havnelageret, i Bjørvika, på Bjørvikautstikkeren, i Bispevika, på Sørenga og på Loenga. Denne rapporten omhandler grunnundersøkelsene som er utført i Bispevika, Akerselva og på Paulsenkaia.

Sonderingene som omfattes av denne rapporten er tidligere oversendt konsulenten i form av midlertidig rapport (oversendt 20 april 1999). Etter avtale med konsulent ble det i første omgang utført laboratorieanalyser på annenhver prøve av opptatt materiale, mens resten av materialet ble reservert inntil videre. Etter samråd med konsulenten er det nå utført rutineanalyser på det resterende materialet.

Angående grunnundersøkelser som er utført/rapportert i tidligere fase av prosjektet vises det til Vegteknisk avdelings (Veglaboratoriets) rapporter som er listet opp under. Utførte boringer fra tidligere undersøkelser i Bjørvika er for oversiktens skyld tatt med på oversiktstegningen (-109). Videre er enkelte av sonderingene tatt med på lengde og tverrprofilene.

### A-21A rapport nr. 1

E18 mellom Oslotunnelen og Ekebergtunnelen.

Loddinger og lette sonderinger i Bjørvika og Bispevika. Kartlegging av tykkelse på slamlag.

10. juni 1996

### A-21A rapport nr. 2 - DEL I og DEL II

E18 mellom Oslotunnelen og Ekebergtunnelen

Grunnundersøkelser for detaljplan, Alternativ B

20. august 1996

### A-21A rapport nr. 3

E18 mellom Festningstunnelen og Ekebergtunnelen

Supplerende loddinger og lette sonderinger i Bjørvika og Bispevika

21. august 1998

### A-21A rapport nr. 4

E18 mellom Festningstunnelen og Ekebergtunnelen

Supplerende grunnundersøkelser.

6. november 1998

### A-21A rapport nr. 5

E18 mellom Festningstunnelen og Ekebergtunnelen

Havnelageret

Grunnundersøkelser for detalj- og reguleringsplan.

12. februar 1999

A-21A rapport nr. 6  
E18 mellom Festningstunnelen og Ekebergtunnelen  
Sørenga  
Grunnundersøkelser for detalj- og reguleringsplan.  
15. april 1999.

A-21A rapport nr. 7  
E18 mellom Festningstunnelen og Ekebergtunnelen  
Loenga  
Grunnundersøkelser for detalj- og reguleringsplan.  
22 april. 1999

A-21A rapport nr. 8  
E18 mellom Festningstunnelen og Ekebergtunnelen  
Bjørvika / Bjørvikautstikkeren  
Grunnundersøkelser for detalj- og reguleringsplan.  
12 mai. 1999

For planlegging av de supplerende undersøkelsene er det tatt utgangspunkt i forslag fra konsulenten v/ NGI. Områdene som dekkes av de ulike rapportene som er gitt ut i 1999 framgår av bilag 2.

## 2. Mark- og laboratoriearbeid

Grunnundersøkelsene utført i 1999 er delt inn i 5 områder og nummerert etter følgende system:

Sørenga: Borpunktsnummer 99001 - 99026  
Loenga: Borpunktsnummer 99101 - 99152  
Havnelageret: Borpunktsnummer 99201 - 99216  
**Bispevika: Borpunktsnummer 99301 - 99309**  
Bjørvika: Borpunktsnummer 99401 - 99423

Borpunktsnumrene er gjengitt på oversiktstegningen, på lengdeprofilene og på tverrprofilene.

Grunnundersøkelsene er utført av Statens vegvesen Møre og Romsdal. Boringene er utført fra januar til mars 1999. Statens vegvesen Møre og Romsdal benytter borerigg Geotech 705. Trykksonderingene (CPT) er utført i samarbeid med medarbeidere fra Vegteknisk avdeling.

Det er utført til sammen 5 totalsonderinger til fjell og 9 trykksonderinger (CPT).

5 av trykksonderingene er utført med Geotech sonde med bronsefilter. Sondene registerer spissmotstand, poretrykk og lokal friksjon. For metning av poretrykksspalte er det benyttet gelatin. De opptegnede resultatene inkluderer arealkorreksjon for spissmotstand ( $\alpha = 0,58$ ).

De resterende 4 trykksonderingene (CPT) er utført med ENVIIs Memocone med spaltefilter. Sondene registerer spissmotstand, poretrykk og lokal friksjon. For metning av poretrykksspalte er det benyttet gelatin. De opptegnede resultatene inkluderer arealkorreksjon for spissmotstand ( $\alpha = 0,7$ ).

Oppsummering av utførte totalsonderinger og trykksonderinger er vist på bilag 3 og 4. Det framgår av bilaget hvilken sonde som er benyttet. Nullpunktsavlesninger før og etter sonderingen framgår også av bilaget.

Det er tatt opp en prøveserie med 54 mm prøvetaker for geotekniske undersøkelser i laboratoriet.

Laboratorieundersøkelsene er utført ved Vegteknisk avdeling. I tillegg til rutineundersøkelser for bestemmelse av indeksparametre er det utført treaksialforsøk og kontinuerlige ødometerforsøk.

### 3. Grunnforhold

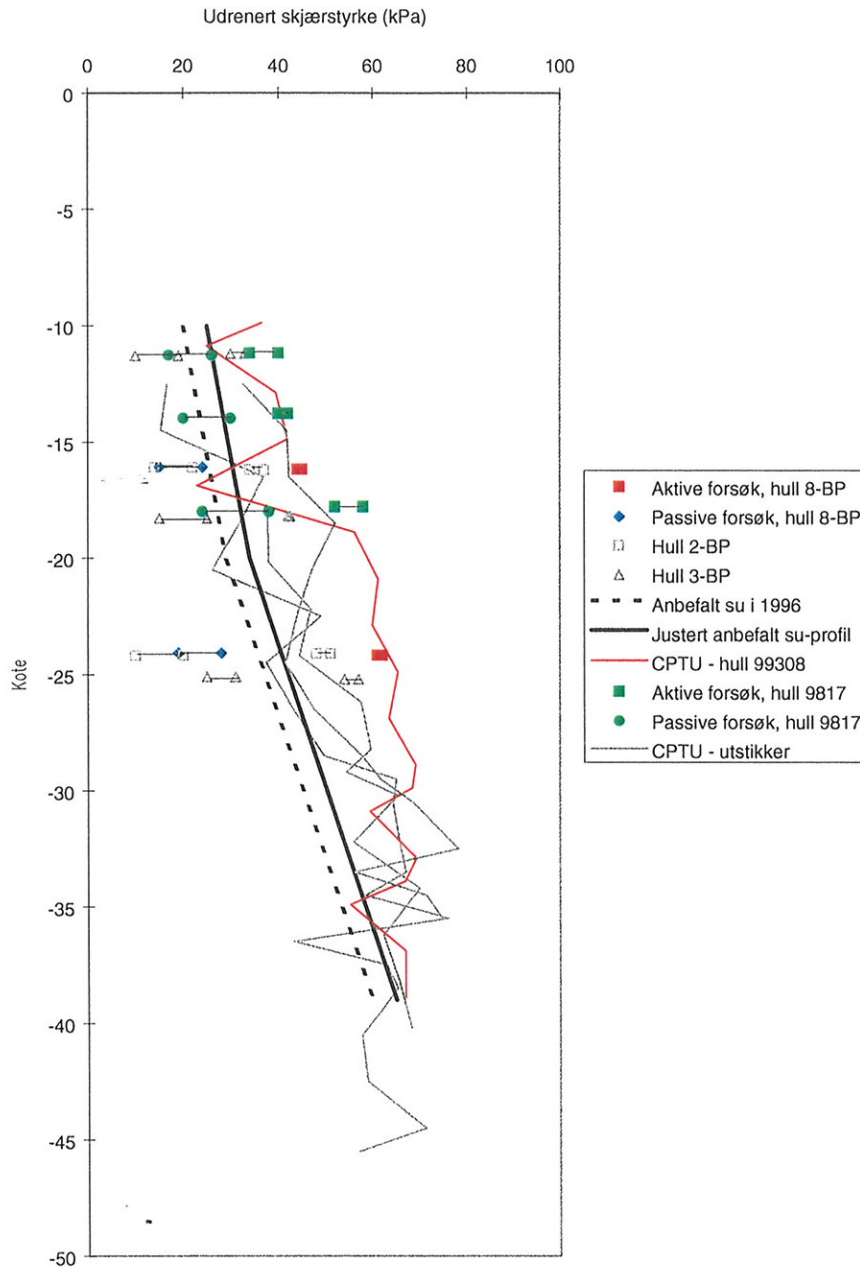
Beskrivelsen av grunnforholdene er delt inn i et avsnitt om Paulsenkaia, et avsnitt om Bispevika samt en kort beskrivelse av sonderingene i Akerselva.

#### 3.1 Paulsenkaia

Overgangen til leire i grunnen under Paulsenkaia ligger omkring kote -10. Det ble tatt opp en prøveserie i 1998 (rapport nr.4). Over leira er det fyllmasser og ca. 2 m flis. Under fyllmasser og flis er det påvist siltig leire og leire. Leirinnholdet er økende med dybden fra 20% til 40% og vanninnholdet er hovedsakelig mellom 35% og 40%. Leira kan betegnes som middels plastisk ( $I_p = 10 - 15\%$ ) og den er lite sensitiv.

Det er i 1999 utført en trykksondering (CPTU) på Paulsenkaia. Vurdering av skjærstyrke er sett i sammenheng med resultater og anbefalte verdier for Bjørvikautstikkeren. Figur 1 viser skjærstyrkeverdier fra alle utførte treaksialforsøk på Bjørvikautstikkeren og Paulsenkaia, (dvs. hull nr. 2-BP, 3-BP og 8-BP fra 1996 samt hull nr. 9817 fra 1998). Det er vist tolket  $s_u$  ved henholdsvis 2% deformasjon og 8% deformasjon. Figur 1 viser også udrenert skjærstyrke tolket på grunnlag av målt spissmotstand fra CPTU-sonderingene som er utført i 1999.

Som det framgår av figur 1 kan det være grunnlag for å tolke ut noe høyere skjærstyrkeverdier lokalt ved Paulsenkaia. Dette henger sannsynligvis sammen med at grunnen her har vært utsatt for større konsolideringsspenninger (mindre flislag).



**Figur 1** Udrenerte skjærstyrker fra treaksialforsøk og CPTU tolket på Nk-basis.

### 3.2 Bispevika

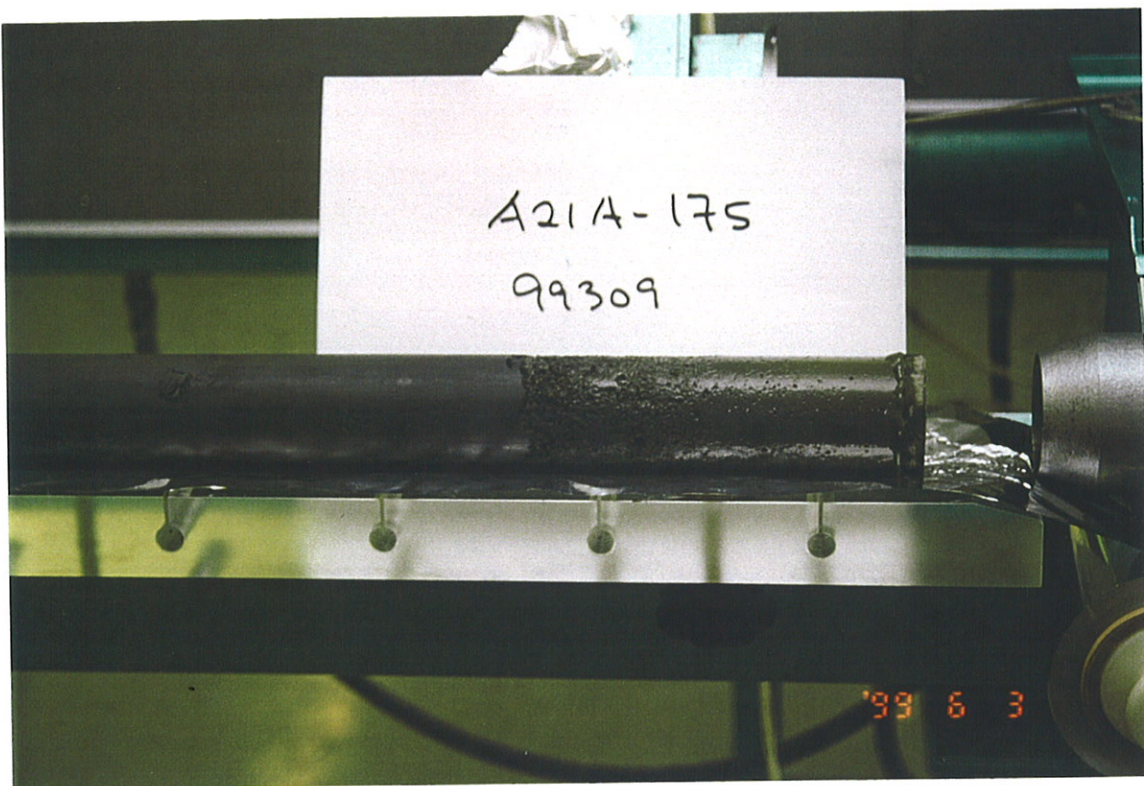
Sjøbunnskoten (overkant slamlag) ligger i Bispevika mellom ca. kote -6 og ca. kote -8.

Påvist fjellnivå i Bispevika ligger i området mellom ca. kote -17 og ca. kote -50. Fra Paulsenkaia og østover ligger fjellet omkring kote -45 inntil ca. profil 6270, deretter stiger fjellet og ligger omkring profil 6340 på kote ca. -17. Deretter faller igjen fjellet inn mot Sørengkaia.

Påvist fjellnivå i Bispevika ligger i området mellom ca. kote -17 og ca. kote -50. Fra Paulsenkaia og østover ligger fjellet omkring kote -45 inntil ca. profil 6270, deretter stiger fjellet og ligger omkring profil 6340 på kote ca. -17. Deretter faller igjen fjellet inn mot Sørengkaia.

Under det øvre slamlaget består grunnen av siltig leire/leire. Sonderingene viser at det stedvis er et lag med fastere masser over fjell, slik som i Bjørvika. Imidlertid ser det ikke ut til at dette laget er gjennomgående og østover langs traseen ser det ut til å være leire ned til fjell.

Sonderingene viser at det er tynne sjikt/lag av sand i massene. Sandlagene framstår tydeligst i vestre og ytre deler av Bispevika. Langs profil A-A' (tegning -109 og -111) ser det ut til at det er et gjennomgående sandlag over Bispevika omkring kote -19 til -16. Sandlagene vil kunne ha betydning for poretrykksforholdene ved oppfylling, samt spunt- og pelearbeider. Ved analyse av prøveserie fra hull 99309 ble det påvist et ca. 10 cm tykt lag av sandig grusig materiale ca. 9,5 m under sjøbunn (ca. kote -18). Bildet under viser dette laget.



Leira i Bispevika er lite sensitiv og middels til meget plastisk. Vanninnholdet for leira ligger omkring 40 %.

Det er påvist en del skjellrester i materialet og glødetapsanalysene indikerer et innhold av organisk materiale på mellom 2 og 3,5%. I tilknytning til laget med grovere materiale i hull 99309 er det også påvist en del trerester.

**Treaksialforsøk**

Prøvene for treaksialforsøkene er konsolidert anisotrop, det er benyttet  $K_0' = 0,55$ .

Volumet av utpresset porevann er målt under konsolideringen, og er brukt som et mål på graden av prøveforstyrrelse. Klassifisering av forsøkene er i henhold til Håndbok 016, Geoteknikk i vegbygging (side 68).

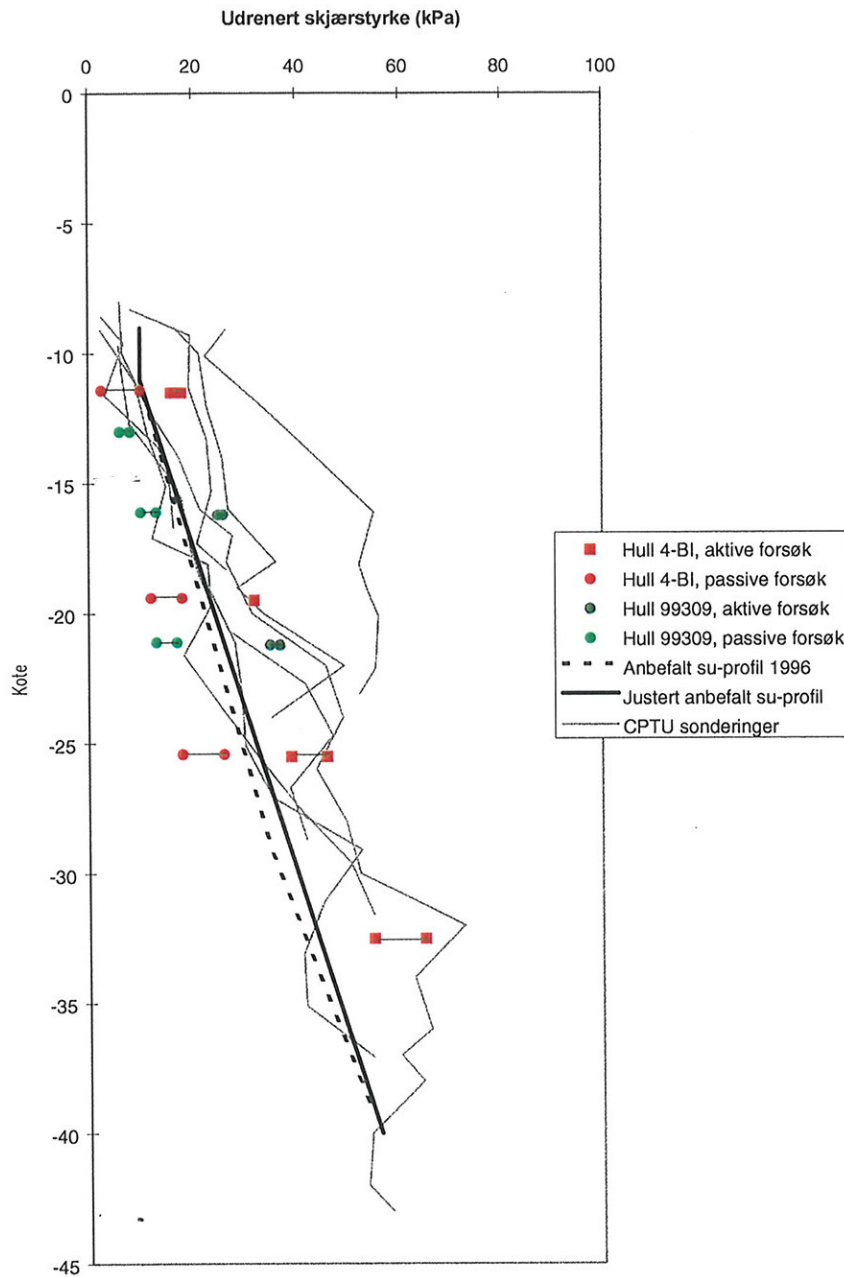
Aktive treaksialforsøk			
Lab.nr.	Kote *)	Utpresset porevann (cm <sup>3</sup> )	Kommentar
173D	-16,2	2,50	godt forsøk
178D	-21,2	5,50	akseptabelt forsøk
Passive treaksialforsøk			
Lab.nr.	Kote *)	Utpresset porevann (cm <sup>3</sup> )	Kommentar
170C	-13,0	3,50	godt forsøk
173C	-16,1	2,50	godt forsøk
178C	-21,1	4,00	godt forsøk.

\*) For beregning av kotehøyde er det tatt utgangspunkt i at sjøbunnskote (dybde 0) er på -8,7.

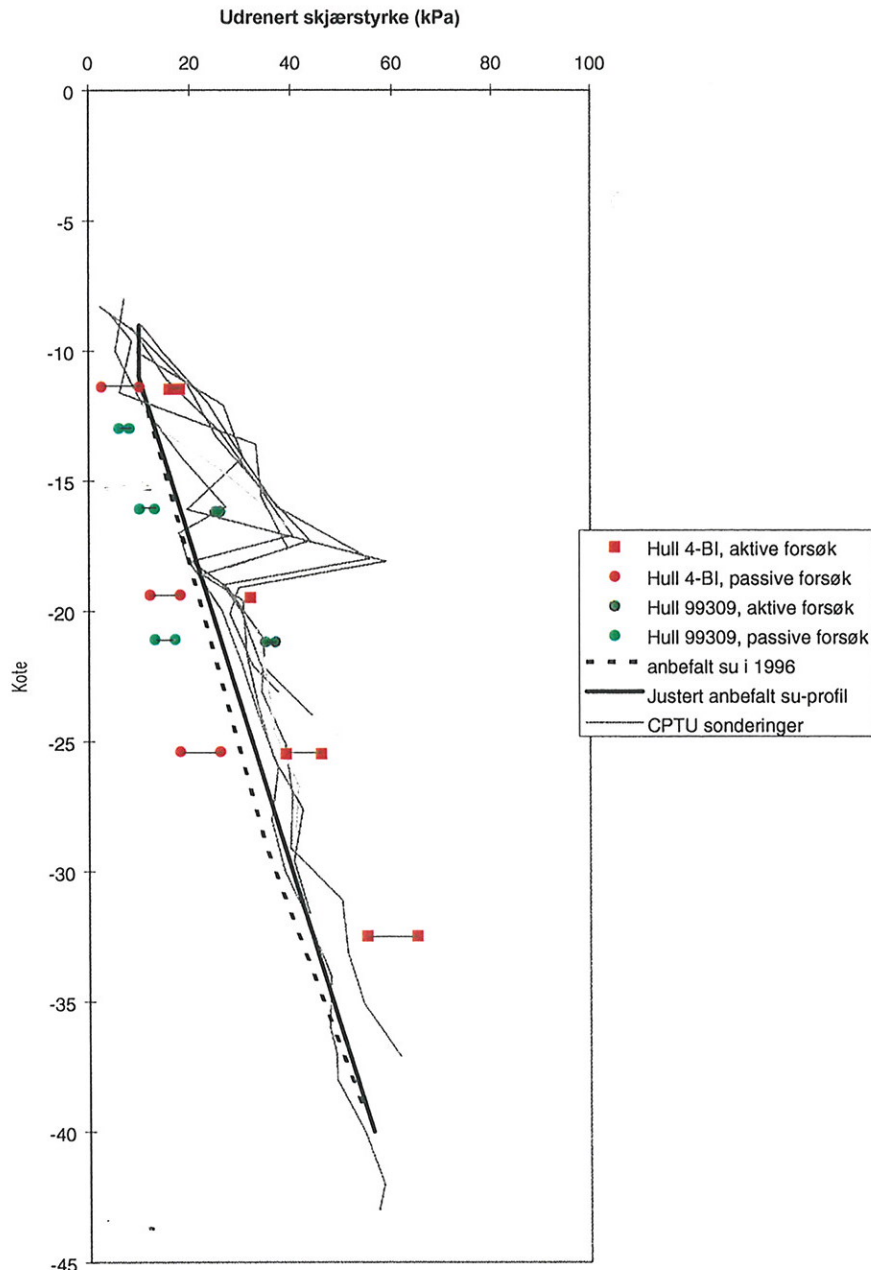
Treaksialforsøkene er tolket med hensyn på udrenert skjærstyrke  $s_u$  samt med hensyn på effektivspenningsparametrene attraksjon (a) og friksjonsvinkel ( $\phi$ ). Parametre fra treaksialforsøkene er oppsummert i bilag 5.

Figur 2 viser skjærstyrkeverdier fra alle utførte treaksialforsøk i Bispevika, (dvs. hull nr. 4-Bi fra 1996 samt hull nr. 99309 fra 1999). Det er vist tolket  $s_u$  ved henholdsvis 2% deformasjon og 8% deformasjon. Figur 2 viser også udrenert skjærstyrke tolket på grunnlag av målt spissmotstand fra CPTU-sonderingene som er utført i 1999.

På figur 3 er udrenerte skjærstyrker fra treaksialforsøkene (samme som på figur 2) vist sammen med  $s_u$  tolket ut ifra målt poretrykk fra CPTU-sonderingene.



Figur 2 Udrenert skjærstyrke fra treaksialforsøk og CPTU tolket på Nk-basis.



**Figur 3 Udrenert skjærstyrke fra treaksialforsøk og CPTU tolket på Nu-basis.**

Etter vår mening er det grunnlag for å justere  $s_u$ -profilen noe opp i forhold til det som ble anbefalt i 1996. Justert anbefalt  $s_u$ -profil er vist på figur 2 og figur 3.

I rapport A-21Anr. 2 av 20. august 1996 var det anbefalt følgende effektivspenningsparametre for Bispevika.

$$\begin{array}{lll} \text{Aktiv styrke:} & a_A = 10 \text{ kPa} & \varphi_A = 27^0 \\ \text{Passiv styrke:} & a_p = 0 & \varphi_p = 23^0 \end{array}$$

Treaksialforsøkene som er utført nå i 1999 endrer ikke vesentlig på dette bildet. Imidlertid er det etter vår mening riktig å benytte en attraksjon også på passiv styrke. De nye forsøkene som er utført gir grunnlag for å anbefale følgende effektivspenningsparametre for leira i Bispevika:

$$\begin{array}{lll} \text{Aktiv styrke:} & a_A = 10 \text{ kPa} & \varphi_A = 28^0 \\ \text{Passiv styrke:} & a_p = 10 \text{ kPa} & \varphi_p = 19^0 \end{array}$$

### 3.3 Akerselva

I tillegg til sonderingene som er utført på Paulsenkaia og i Bispevika er det også utført en totalsondering samt en trykksondering (CPTU) i Akerselva.

Elvebunn ligger ved framtidig vegtrase på kote -3,0 og fjellet ligger på kote ca. -43.

Av sonderingene framgår det at løsmassene består av grovere masser (antagelig sand) til kote ca. -10. Under dette laget er det hovedsakelig leire.

På bakgrunn av den utførte CPTU-sonderingen anbefales det å benytte samme skjærstyrkeparametre i leira ved Akerselva som for Bispevika.

Vegteknisk avdeling  
Geoteknisk kontor

Frode Oset  
senioringeniør

Anne Braaten  
overingeniør

Opptegning i plan / på oversiktskart.

**TEGNINGSSYMBOLER**

Nummerering i henhold til borpunktliste GeoPlot.

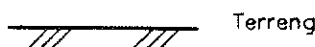
Symbol	Metode	Anmerkning	Symbol	Metode	Anmerkning
●	1 Dreiesondering	Sondering m. registrering av motstand.	■	10 Setningsmåling	Nivellementspunkt.
◎	2 Prøveserie	Prøvene tatt med boringsredskap (skovlbør, prøvetagger, diamantkjernerbor m.m.)	▽	11 S.P.T.	Standard Penetration Test
□	3 Prøvegrop	Prøvene tatt i gropvegg.	★	12 Fjellkontrollboring	Boring ned til og i fjell.
☒	4 Prøvebelastning	Peler, terregnplater, fundamenter o.l.	○	13 Poretrykksmåling	Inkludert måling av grunnvannstand.
○	5 Enkel sondering	Sondering uten registrering av motst., f.eks. spyleboring, slagboring m.m.	●	14 In situ permeabilitetsmåling	Infiltrasjonsforsøk, prøvepumping m.m.
◆	6 Dreietrykksondering	Maskinsondering med automatisk registrering.	+	15 Vingeboiring	Måling av uomrørt og omrørt udrenert skjerstyrke.
▽	7 CPT / Trykksondering	Sondering der spissmotstand, lokal friksjon og poretrykk registreres under nedpressing	Ω	16 Elektrisk sondering	Elektrisk motstand, korrosivitet etc.
⊗	8 Skruplateforsøk	Kompressometer o.l.	□	17 Hellingsmåling	Inklinometer.
▼	9 Ramsondering	Sondering der borstang slås ned. Stangdiameter, loddvekt og fallhøyde er normert. $Q_0$ registreres.	⊕	18 Totalsondering	Kombinasjonsboring gjennom løsmasser og fjell.

**NIVÅER OG DYBDER (i meter)**

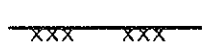
 12,8  
-5,7 18,5+3,0 Over linjen : kote terregn eller elvebunn, sjøbunn ved boring i vann (12,8).  
Ut for linjen : boret dybde i løsmasser (18,5). Evt. boret dybde i fjell angis etter plussstege (+3,0).  
Under linjen : sikker fjellkote.

**OPPTEGNING I PROFIL**

Generelt



Terreng

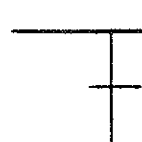
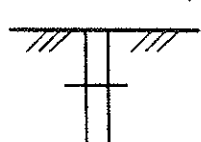


Fjell

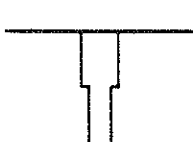


Vannstand

**FORBORING (Gjelder alle sonderingstyper)**

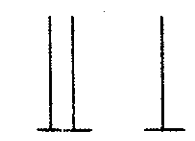


Forboret

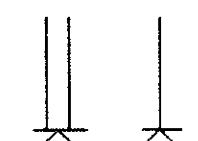


Forboret med tyngre utstyr

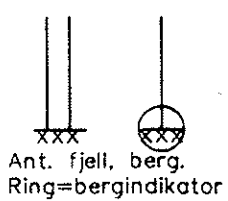
**AVSLUTNING AV BORING (Gjelder alle sonderingstyper)**



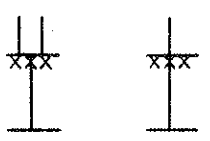
Boring avsluttet



Ant. stein, blokk  
eller fast grunn.



Ant. fjell, berg.  
Ring=bergindikator

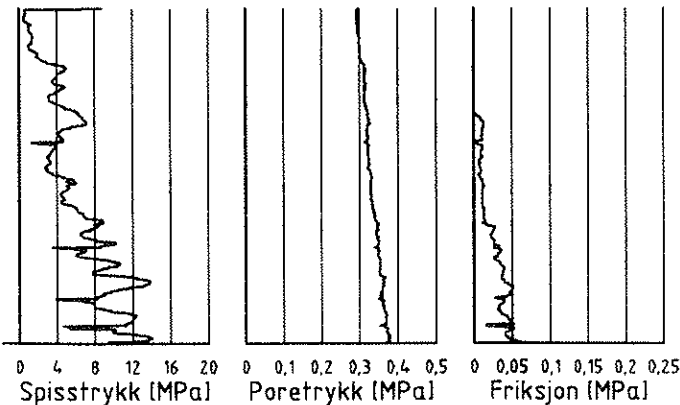


Boret i ant. fjell



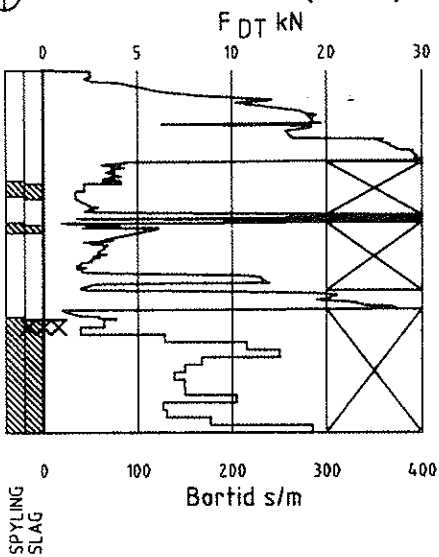
Boret i fjell og kjerne  
opptatt

## ▽ CPT / TRYKKSØNDERING



Trykksøndering med poretrykksmåling og friksjonsmåling. Borhullet markeres med en tykk strek hvor spissmotstandskurven tegnes inn. Poretrykkskurven og friksjonskurven tegnes inn i høyelig nærhet til spissmotstandskurven. Skala velges etter (opptredende) målte spenninger.

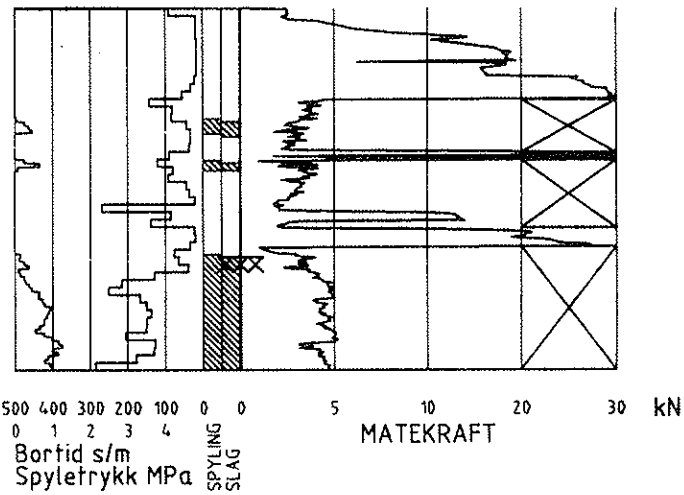
### ⊕ TOTALSØNDERING (alt. 1)



Metoden er en kombinasjon av dreietrykksøndering og fjellkontrollboring, med 57 mm borkrone.

Målt nedpressingskraft vises som funksjon av dybden der hvor boringen er utført med prosedyre som for dreietrykksøndering. Økt rotasjonshastighet vises med kryss for denne delen av boringen.

### ⊕ TOTALSØNDERING (alt. 2)



Ved boring med slag og spyling markeres dette med skravur. Bortid tegnes i blokker for hver 0,2m, evt. 1,0m (alternativ 1). Alternativt kan nedpressingskraft tegnes også for denne delen av boringen. Bortid tegnes da i blokker for hver 0,2m, evt. 1,0m, på motsatt side av diagrammet (alt. 2).

## KODELISTE

Data som registreres kan kompletteres med borlederens egne inntrykk. For å hjelpe borlederen finnes det en kodeliste som anbefales brukt. Kodene kan om ønskelig tegnes til høyre for bordiagrammet. Disse koder benyttes:

### GENERELLE KODER

- 00 Foreg. kode feil, skal være kode...
- 01 Startnivå for følgende kode
- 02 Metodebytte ved fortsatt sondering i samme hull (komb. m. ang. ny met.)
- 03 Ytterligere info. finnes

### ANMERKNINGSKODER

- 10 Stoppnivå for tidligere forsøk (komb. m. stoppkode).
- 11 Lengre opphold i sond. (mer enn 5min.)
- 12 Dreining ikke utført fra det markerte nivå.
- 13 Sonden synker uten loddets vekt (ramsond.).
- 14 Sonden synker med loddets tyngde.
- 15 Sonderingsmotstand registreres ikke.
- 16 Stopp for poretrykksutjevning (CPT).
- 17 Poretrykksutjevning avsluttet.

### FRIE KODER (EKSEMPEL)

- 60 Borstangen bøyer seg.
- 61 Trolig grunnvannsnivå.
- 62 Markert mottrykk under oppbygging.
- 63 Slutt mottrykk.

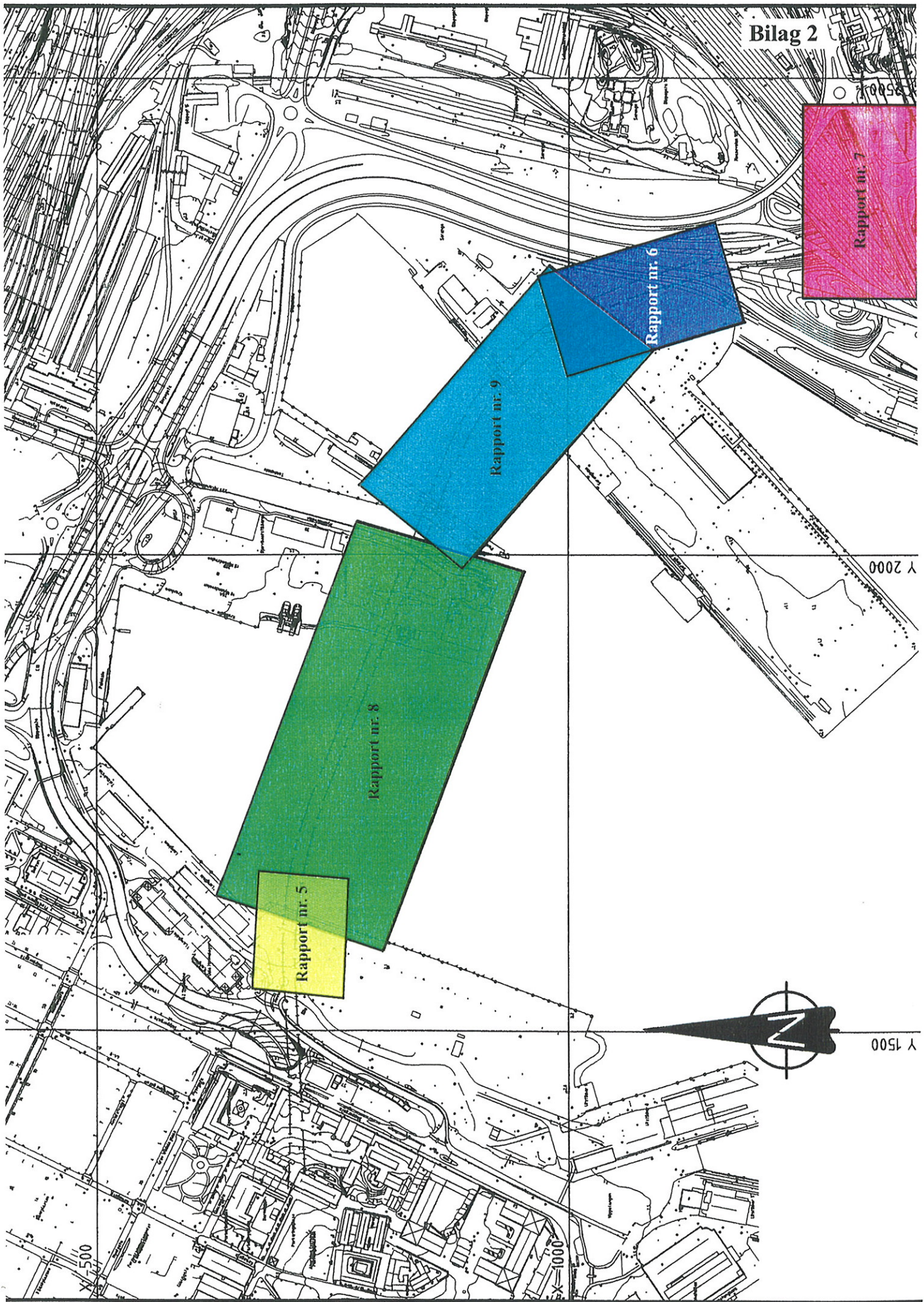
### BEDØMMELSESKODER

- |                                     |                                  |
|-------------------------------------|----------------------------------|
| 30 Fyllmasse                        | 77 Slag og spyling slutter samt. |
| 31 Tørrskorpe                       | 78 Pumping starter               |
| 32 Leire                            | 79 Pumping slutter               |
| 33 Silt                             |                                  |
| 34 Sand                             |                                  |
| 35 Grus                             |                                  |
| 36 Morene                           |                                  |
| 37 Tørv                             |                                  |
| 38 Gytje                            |                                  |
| 40 Forekomst av stein               |                                  |
| 41 Stein, blokk eller berg.         |                                  |
| 42 Sluttnivå for stein eller blokk. |                                  |

### MASKINTEKNISKE KODER

- |                                  |   |
|----------------------------------|---|
| 70 Økt rotasjon begynner         | 90 Sondering avsl. uten å ha oppnådd stopp.                   |
| 71 Økt rotasjon avsluttet        | 91 Fast grunn, sond. kan ikke drives videre etter norm. pros. |
| 72 Pumping begynner              | 92 Ant. stein eller blokk                                     |
| 73 Pumping avsluttet             | 93 Ant. berg  |
| 74 Slag starter                  | 94 Avsl. etter boret ønsket dybde i fjell.                    |
| 75 Slag slutter                  | 95 Brudd i borstenger eller spiss.                            |
| 76 Slag og spyling starter samt. | 96 Annen material- eller mask. feil                           |
|                                  | 97 Boring avsl. (årsak notert)                                |

Bilag 2



### BILAG 3

#### Totalsonderinger utført i Bispevika og på Paulsenkaia

Hull nr.	X- koordinat	Y- koordinat	Sjøbunns- kote eller terrengkote	Fjellkote	Merknader fra boremannskapene
99301	-846,0	2021,7	-3,0	-43,4	
99303	-902,2	2041,7	-6,0	-49,6	
99304	-926,5	2096,3	-7,6	-33,4	
99307	-952,4	2134,4	-8,1	-25,3	
99308	-845,0	2048,2	+1,1	-43,4	Høy rotasjon i toppen pga. kald olje.

## BILAG 4

### CPT-sonderinger i Bispevika, Akerselva og på Paulsenkaia

Hull nr.	X-koordinat	Y-koordinat	Sjøbunnskote eller kaikote	Nullpunkt-avlesninger før/etter	Merknad
99301	-846,0	2021,7	-3,0	spiss: 0,00/-0,07 poretr.: 100/98 friksjon: 0/0	Sonde nr. 3267
99302	-874,0	2093,0	-7,1	spiss: 131/131 poretr.: 238/240 friksjon: 0/0	Sonde nr. 9559
99303	-902,2	2041,7	-6,0	spiss: 0,00/0,05 poretr.: 100/102 friksj.: 0/1	Sonde nr. 3267
99304	-926,5	2096,3	-7,6	spiss: 136/134 poretr.: 257/249 friksj.: 176/181	Sonde nr. 9559
99305	-896,3	2139,8	-7,3	spiss: 0,00/0,07 poretr.: 100/112 friksj.: 0/2	Sonde nr. 3267
99306	-915,6	2170,5	-8,0	spiss: -0,02/-0,07 poretr.: 100/98 friksjon: 1/2	Sonde nr. 3267
99307	-952,4	2334,4	-8,1	spiss: 0,00/0,2 poretr.: 100/117 friksj.: 0/6	Sonde nr. 3267
99308	-845,0	2048,2	+1,1	spiss: 008/012 poretr.: 416/415 friksjon: 202/201	Sonde nr. 9606
99309	-948,4	2075,1	-8,7	spiss: 132/133 poretr.: 244/241 friksjon: 178/181	Sonde nr. 9559

CPT-sonde nr. 9559: Envi, 3-kanals, Maks. spisstrykk: 5,0 Mpa.

---- " ---- nr. 9606: Envi, 3-kanals, Maks. spisstrykk: 10,0 Mpa.

---- " ---- nr. 3267: Geotech, 3-kanals, Maks. spisstrykk: 5,0 Mpa.

## BILAG 5

### Tolkningsparametre fra treaksialforsøk, totalspenningsbasis

*hull nr 99309*

Kote	Type forsøk	$p_o'$ [kPa]	$K_0'$	$u_0$ [kPa]	w [%]	$\Delta V$ [cm <sup>3</sup> ]	$s_u$ [kPa]	$s_u/p_o'$	$s_u$ [kPa]	$s_u/p_o'$
									$\varepsilon_v = 2\%$	$\varepsilon_v = 8\%$
-16,2	CAUA1	64,0	0,55	158,0	39	2,5	25	0,39	26	0,40
-21,2	CAUA1	103,0	0,55	208,0	42	5,5	37	0,36	35	0,34
-13,0	CAUP3	37,0	0,55	126,0	40	3,5	6	0,16	8	0,22
-16,1	CAUP3	64,0	0,55	157,0	39	2,5	10	0,16	13	0,20
-21,1	CAUP3	103,0	0,55	207,0	42	4,0	13	0,13	17	0,16

### Tolkningsparametre fra treaksialforsøk, effektivspenningsbasis

*hull nr 99309*

Kote	Type forsøk	$p_o'$ [kPa]	$K_0'$	$u_0$ [kPa]	w [%]	$\Delta V$ [cm <sup>3</sup> ]	a [kPa]	$\phi$ [ $^{\circ}$ ]	Materiale	Bilag
-16,2	CAUA1	64,0	0,55	158,0	39	2,5	10	28	leire	6
-21,2	CAUA1	103,0	0,55	208,0	42	5,5	10	28	leire	
-13,0	CAUP3	37,0	0,55	126,0	40	3,5	10	19	leire	
-16,1	CAUP3	64,0	0,55	157,0	39	2,5	10	19	leire	7
-21,1	CAUP3	103,0	0,55	207,0	42	4,0	10	19	leire	

CAUA1: "Anisotropt konsolidert, udrenert, aktiv, type 1", dvs. selve skjærundersøket utføres ved å øke vertikalspenningen, mens horisontalspenningen holdes konstant.

CAUP3: "Anisotropt konsolidert, udrenert, passiv, type 3", dvs. selve skjærundersøket utføres ved å minske vertikalspenningen, mens horisontalspenningen holdes konstant.

$p_o'$ : effektivt overlagringstrykk

$K_0'$ : effektiv hviletrykkskoeffisient under konsolideringen

$u_0$ : poretrykk

w: initielt vanninnhold

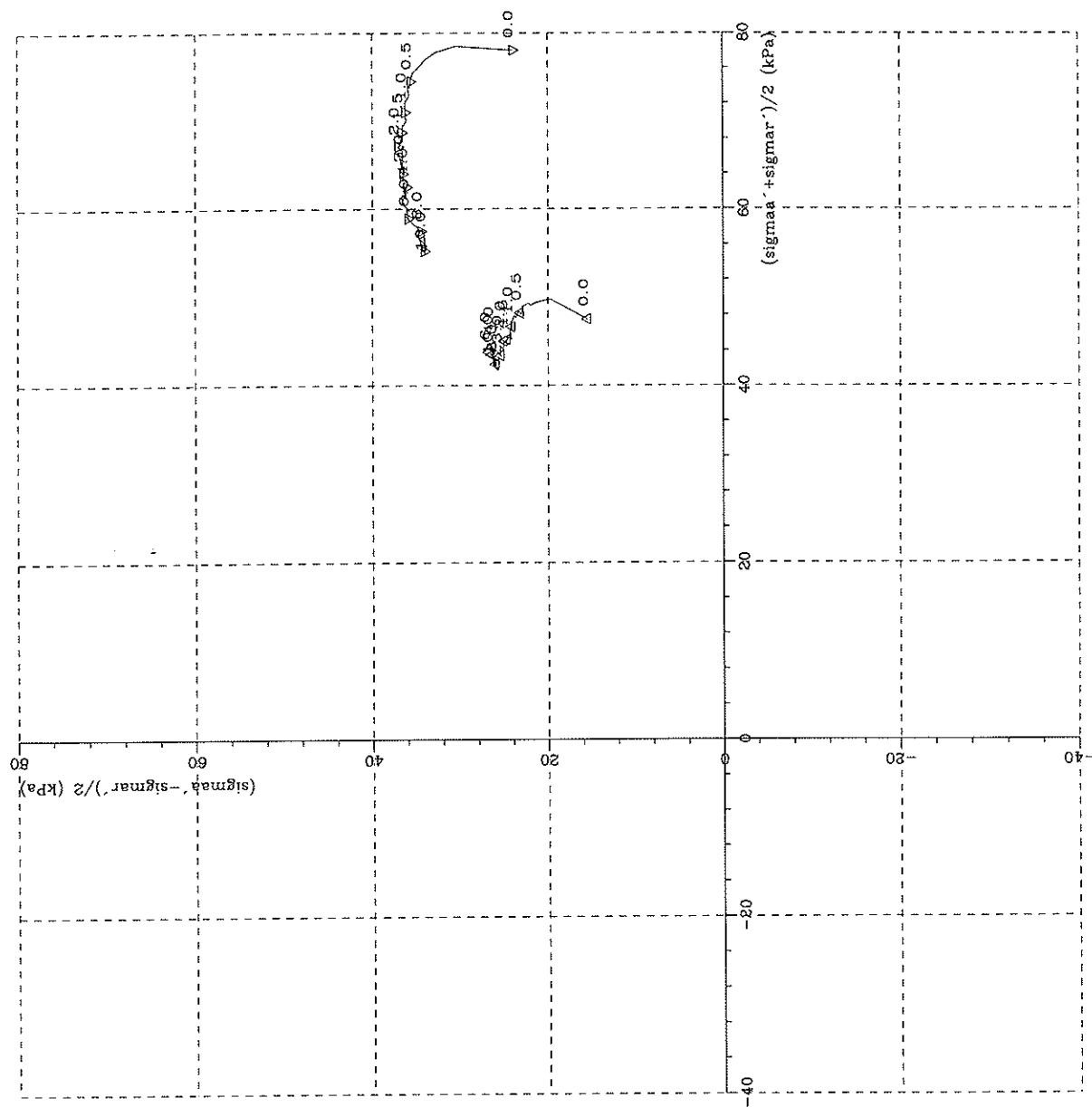
$\Delta V$ : utpresset porevann under konsolidering

a: attraksjon

$\phi$ : friksjonsvinkel

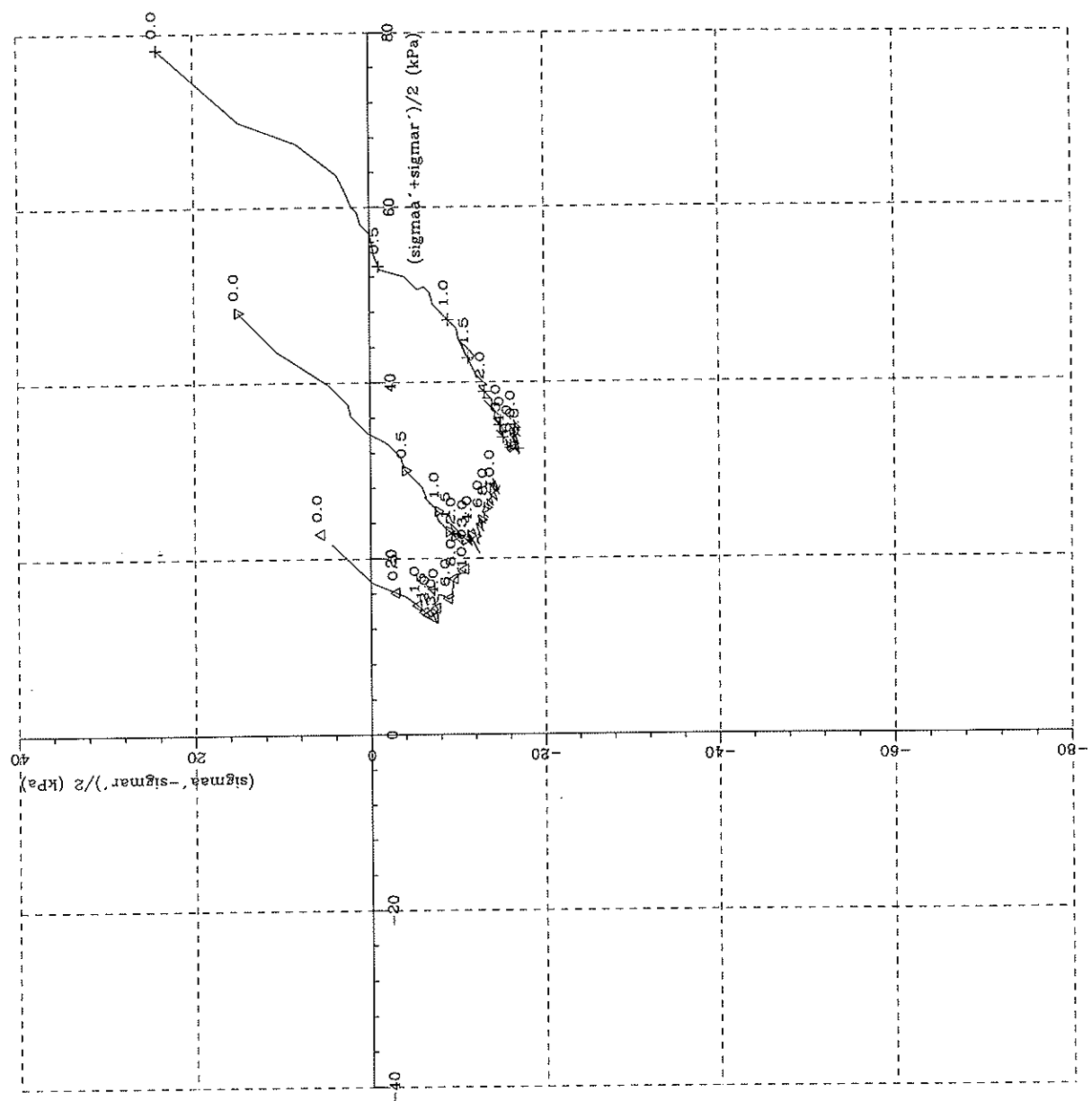
$s_u$ : udrenert skjærstyrke fra treaksialforsøk

$\varepsilon_v$ : vertikal tøyning

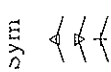


Profil	Dybde(m)	Labnr	Forsøkstype	$dV(cm^3)$	Korr.	Kommentar
99309	7.50	173D	CAUA1	2.50	12.4	leire
99309	12.50	178D	CAUA1	5.50	12.4	leire

TREAKSIALFORSØK	Oppdr.nr. A21A
VEGTEKNISK AVDELING	Dato 23. 4.99
	Fig.



sym	fron	lydene/	lasten	lydene/	lasten
99309	4.30	170C	CAUP3	3.50	12.4
99309	7.40	173C	CAUP3	2.50	12.4
99309	12.40	178C	CAUP3	4.00	12.4



TREAKSIALFORSØK

VEGTEKNISK AVDELING

Oppdr.nr.  
A21ADato  
23. 4.99

Fig.